

## ПОЛЯРИЗАЦИЯ И СКОРОСТИ УПРУГИХ ВОЛН В СРЕДАХ СО СТРЕСС-ИНДУЦИРОВАННОЙ АНИЗОТРОПИЕЙ

Среди экспериментальных методов исследования напряженного состояния природных и искусственных материалов все большее внимание [1—17] начинает уделяться группе методов, основанных на сейсмо- или акустоупругом эффекте. Первые попытки сформулировать общую строгую теорию распространения акустических волн в упругой среде под давлением сделаны в 40-е годы [1,2]. В [3] были получены выражения для скоростей  $P$ - и  $S$ -волн, распространяющихся в деформируемом изотропном теле вдоль и поперек одноосной нагрузки. При этом даже для малых величин предварительных напряжений оказалось необходимым учитывать упругие модули не только 2-го, но и 3-го порядка [4]. Нелинейную теорию упругости [4] для конечных деформаций берут за основу и другие исследователи [5—17], анализирующие влияние статических напряжений на скорости упругих волн.

Однако, несмотря на большое количество публикаций, использование поляризационно-кинематических характеристик упругих волн для оценки напряжений до сих пор находится в начальной стадии. В данной работе на основе метода возмущений [18,19] получены приближенные аналитические выражения для индикаторов фазовых скоростей и векторов поляризации квазипродольных и квазипоперечных волн, распространяющихся в средах со стресс-индущенной анизотропией. Стress-индущенная анизотропия понимается здесь в узком смысле как способность упругих изотропных материалов приобретать при деформировании анизотропию акустических свойств, т.е. предполагается, что при нулевых деформациях анизотропией, обусловленной структурно-вещественным составом, можно пренебречь.

Полученные приближенные уравнения необходимы при оценке параметров сложнопроявленного состояния и упругих модулей третьего порядка. Возможность их использования оценивается путем сопоставления результатов расчета по точным и приближенным формулам.

1. Пьезоакустический тензор и пьезоакустические постоянные. Фазовые скорости  $v$  и векторы поляризации  $a = (a_i)$   $qP$ - и  $qS$ -волн находят, как известно [11], путем определения собственных значений и собственных векторов акустического тензора  $L_{ij}$ :

$$(1.1) \quad L_{ii}a_i - v^2 a_i = 0, \quad L_{ii} = \hat{c}_{ij,kl} n_j n_k$$

( $n$  — орты нормали к фронту волны). В нагруженной среде упругие постоянные  $c_{ij,kl}$  имеют смысл эффективных упругих постоянных, которые связаны с тензором напряжений  $t_{jk}$  и с тензором пьезоакустических модулей  $c_{mn,pq}$  известными соотношениями [11]

$$(1.2) \quad \begin{aligned} \hat{c}_{ij,kl} &= S_{ij,kl} + \delta_{il} t_{jk}, \quad t_{jk} = c_{mn,pq} \varepsilon_{mn} \frac{\partial x_j}{\partial \xi_p} \frac{\partial x_k}{\partial \xi_q}, \\ S_{ij,kl} &= c_{mn,pq} \frac{\partial x_i}{\partial \xi_m} \frac{\partial x_j}{\partial \xi_n} \frac{\partial x_k}{\partial \xi_p} \frac{\partial x_l}{\partial \xi_q}, \quad \varepsilon_{mn} = \frac{1}{2} \left( \frac{\partial x_p}{\partial \xi_m} \frac{\partial x_p}{\partial \xi_n} - \delta_{mn} \right), \end{aligned}$$

где  $x_k$  — лагранжевы координаты среды, подверженной сложнопроявленному состоянию;  $\xi_k$  — лагранжевы координаты среды без напряжений;  $\varepsilon_{mn}$  — компоненты тензора деформаций;  $\delta_{ik}$  — символ Кронекера. Здесь и далее величины упругих постоянных  $c_{ij,kl}$ ,  $S_{ij,kl}$ ,  $c_{mn,pq}$  и напряжений  $t_{jk}$  нормируются значением объемной плотности.

В дальнейшем, чтобы различать влияние сложнопроявленного состояния  $t_{jk}$  от гидростатического давления ( $\sigma \delta_{jk}$ ), будем представлять все тензоры

в виде суммы двух тензоров, один из которых зависит от шаровой части  $(\varepsilon/3)\delta_{jk}$ , а другой — от девиатора тензора деформаций  $e_{jk}$ :

$$(1.3) \quad \begin{aligned} \varepsilon_{jk} &= (\varepsilon/3)\delta_{jk} + e_{jk}, \quad e = e_{11} + e_{22} + e_{33} = 0, \\ t_{jk} &= \sigma_{jk}(\varepsilon) + \tau_{jk}(e_{jk}). \end{aligned}$$

Исходя из данного Мурнаганом [4] представления в виде кубической формы упругого потенциала  $\Sigma$  изотропной среды:

$$(1.4) \quad \Sigma = -p_0\varepsilon + \frac{\lambda + 2\mu}{2}\varepsilon^2 - 2\mu d + \frac{l + 2m}{3}\varepsilon^3 - 2m\varepsilon d + nD,$$

где  $p_0$  — начальное гидростатическое давление, соответствующее нулевым деформациям;  $\lambda, \mu$  — константы Ламэ;  $l, m, n$  — константы Мурнагана, отвечающие за существенно нелинейный характер зависимости напряжений от деформаций;  $\varepsilon, d, D$  — три инварианта тензора деформаций:

$$(1.5) \quad \begin{aligned} \varepsilon &= Sp(\varepsilon_{jk}) = \varepsilon_{11} + \varepsilon_{22} + \varepsilon_{33}, \\ d &= (\varepsilon^2 - \sum_{j,k=1}^3 \varepsilon_{jk}^2) = \varepsilon_{11}\varepsilon_{22} + \varepsilon_{22}\varepsilon_{33} + \varepsilon_{33}\varepsilon_{11} - \varepsilon_{12}^2 - \varepsilon_{13}^2 - \varepsilon_{23}^2, \\ D &= \det(\varepsilon_{jk}) = \varepsilon_{11}\varepsilon_{22}\varepsilon_{33} + 2\varepsilon_{12}\varepsilon_{13}\varepsilon_{23} - \varepsilon_{11}\varepsilon_{23}^2 - \varepsilon_{22}\varepsilon_{13}^2 - \varepsilon_{33}\varepsilon_{12}^2, \end{aligned}$$

для пьезоакустических модулей  $c_{mn,pq}$  с учетом (1.2) — (1.5) можно получить следующее выражение:

$$(1.6) \quad \begin{aligned} c_{mn,pq} &= \frac{\partial^2 \Sigma}{\partial \varepsilon_{mn} \partial \varepsilon_{pq}} = \Lambda_{mn,pq} + M_{mn,pq}(\varepsilon_{jk}), \\ \Lambda_{mn,pq} &= \lambda \delta_{mn} \delta_{pq} + \mu (\delta_{mp} \delta_{nq} + \delta_{mq} \delta_{np}), \\ M_{mn,pq}(\varepsilon_{jk}) &= 2(l - m/3 + n/6)\varepsilon \delta_{mn} \delta_{pq} + (m - n/6)\varepsilon (\delta_{mp} \delta_{nq} + \delta_{mq} \delta_{np}) + \\ &\quad + (2m - n)(\delta_{mn} \varepsilon_{pq} + \delta_{pq} \varepsilon_{mn}) + \\ &\quad + (n/2)(\delta_{mp} \varepsilon_{nq} + \delta_{nq} \varepsilon_{mp} + \delta_{mq} \varepsilon_{np} + \delta_{np} \varepsilon_{mq}). \end{aligned}$$

Далее будем предполагать, что предварительно напряженное состояние с достаточной степенью точности описывается только линейными членами тензора деформаций; тогда после подстановки (1.6) в (1.2) тензор напряжений  $t_{jk}$  и тензор  $S_{ij,kl}$  запишем в виде

$$(1.7) \quad \begin{aligned} t_{jk} &= \Lambda_{jk,mn} \varepsilon_{mn}; \quad S_{ij,kl} = S_{ij,kl}^0 + S_{ij,kl}^e, \\ S_{ij,kl}^0 &= [\lambda + 2(2\lambda/3 + l - m/3 + n/6)\varepsilon] \delta_{ij} \delta_{kl} + \\ &\quad + [\mu + (4\mu/3 + m - n/6)\varepsilon] (\delta_{ik} \delta_{jl} + \delta_{il} \delta_{jk}), \\ S_{ij,kl}^e &= (2\lambda + 2m - n)(\delta_{ij} e_{kl} + \delta_{kl} e_{ij}) + \\ &\quad + (2\mu + n/2)(\delta_{ik} e_{jl} + \delta_{jl} e_{ik} + \delta_{il} e_{jk} + \delta_{jk} e_{il}). \end{aligned}$$

Подставляя (1.7) в (1.1), для пьезоакустического тензора  $L_u$  имеем

$$(1.8) \quad \begin{aligned} L_u &= L_u^0 + L_u^e, \\ L_u^0 &= [\mu + (\lambda + 2\mu + m - n/6)\varepsilon] \delta_{ii} + \\ &\quad + [\lambda + \mu + (4\lambda + 4\mu + 6l + m + n/2)\varepsilon/3] n_i n_p, \\ L_u^e &= (2\mu + n/2)e_{ii} + (4\mu + n/2)\delta_{ii}(e_{jk} n_j n_k) + \\ &\quad + 2(\lambda + \mu + m - n/4)(n_i n_k e_{ii} + e_{ik} n_k n_i). \end{aligned}$$

Заметим, что первое слагаемое описывает изменение акустического тензора от деформации объема, а второе обуславливает появление акустической анизотропии при деформации формы. На основе закона Гука (1.7) дилатация  $\varepsilon$  и девиатор деформации связаны с тензором напряжения простыми соотношениями

Материал	$\lambda$	$\mu$	$\rho_0, \text{г/см}^3$	$\alpha_p$	$\alpha_s$	$\beta_p$	$\beta_s$
	ГПа						
Гранит (сухой) [15]	21,16	18,38	2,65	-3546	-1219	-706,5	-42,34
Гранит (влажный) [16]	29,7	25,3	2,66	-1330	-267,6	-656,7	-123,0
Полистерол [3]	2,89	1,38	1,06	-34,64	-4,47	-9,65	-0,41
Стеклопирекс [3]	13,5	27,5	—	25,81	8,52	12,67	2,41
Армко-железо [3]	110	82	—	-28,05	-17,11	-17,44	2,18
Железо [6]	113	81	—	-14,49	-4,16	-10,85	-1,80
Медь [6]	105	47	—	-15,91	-3,27	-16,40	-3,65
Сталь [17]	115,8	79,8	—	-14,03	-4,06	-7,71	-0,62
Водонефтяная эмульсия [20]	1,56	0	—	-1556	0	0	0

$$(1.9) \quad t_{jk} = \sigma \delta_{jk} + \tau_{jk}, \quad \sigma = (\lambda + 2/3\mu)\epsilon, \quad \tau_{jk} = 2\mu e_{jk}.$$

Подставляя (1.9) в (1.8) для пьезоакустического тензора  $L_u^0$  получим

$$(1.10) \quad L_u^0 = [\mu + \alpha_s \sigma] \delta_{ii} + [\lambda + \mu + (\alpha_p - \alpha_s) \sigma] n_i n_i,$$

$$L_u^e = 2\beta_s \tau_{ii} + (1 + 2\beta_s) \delta_{ii} (\tau_{jk} n_j n_k) +$$

$$+ (\beta_p - 1 - 4\beta_s) (n_i n_k \tau_{ki} + \tau_{ik} n_k n_i) / 2,$$

где  $\alpha_p, \alpha_s, \beta_p, \beta_s$  — пьезоакустические константы:

$$(1.11) \quad \alpha_p = (7\lambda + 10\mu + 6l + 4m) / (3\lambda + 2\mu),$$

$$\beta_p = (2\lambda + 5\mu + 2m) / \mu,$$

$$\alpha_s = (3\lambda + 6\mu + 3m - n/2) / (3\lambda + 2\mu),$$

$$\beta_s = (4\mu + n) / (8\mu).$$

Заметим, что  $\hat{\beta}_p = 2[\alpha_s(3\lambda + 2\mu)/\mu + 4\beta_s - 1/2]/3$ . В таблице для некоторых материалов приведены значения пьезоакустических констант (1.11), рассчитанные по данным экспериментального изучения скоростей упругих волн при всестороннем и одноосном нагружении [3, 6, 15—17, 20].

2. Скорости и векторы поляризации  $qP$ - и  $qS$ -волн при трехосном нагружении. В этом случае фазовые скорости и векторы поляризации  $qP$ - и  $qS$ -волн весьма сложным образом зависят от девиатора тензора деформаций. Если предположить, что деформация формы по сравнению с общей деформацией объема является эффектом более высокого порядка (т.е.  $\epsilon \gg e_{jk}$  и  $L_u^0 \gg L_u^e$ ), то для получения приближенных аналитических выражений фазовых скоростей и векторов поляризации  $qP$ - ( $v_3, a_{i3}$ ) и  $qS$ -волн ( $v_1, a_{i1}$ ), ( $v_2, a_{i2}$ ) можно использовать линейное приближение метода возмущений [18, 19]:

$$(2.1) \quad v_3^2 = D_{33}, \quad v_{1,2}^2 = (D_{11} + D_{22} \pm \sqrt{(D_{22} - D_{11})^2 + 4(D_{12})^2}) / 2;$$

$$(2.2) \quad a_{i3} = b_{i3} + \Delta(b_{i2} \sin \Gamma + b_{i1} \cos \Gamma),$$

$$a_{i2} = -\Delta \sin(\Gamma - \gamma) b_{i3} + \{b_{i2} \cos(\Gamma - \gamma) + b_{i1} \sin(\Gamma - \gamma)\} / \cos \Gamma,$$

$$a_{i1} = -\Delta \cos(\Gamma - \gamma) b_{i3} + \{-b_{i2} \sin(\Gamma - \gamma) + b_{i1} \cos(\Gamma - \gamma)\} / \cos \Gamma;$$

$$(2.3) \quad \operatorname{tg} \Gamma = D_{23}/D_{13}, \quad \Delta = \sqrt{D_{23}^2 + D_{13}^2} / (v_p^2 - v_s^2),$$

$$\operatorname{tg} 2\gamma = 2D_{12}/(D_{11} - D_{22}), \quad \operatorname{tg} \Gamma = -\Delta^2 \sin 2(\Gamma - \gamma) / (2\Omega),$$

$$\Omega = \sqrt{(D_{22} - D_{11})^2 + 4(D_{12})^2} / (v_p^2 - v_s^2);$$

$$(2.4) \quad D_{nr} = \sum_{i,k=1}^3 b_m L_{ik} b_{kr} = \sum_{i,j,k,l=1}^3 \hat{c}_{ij,kl} b_m n_j n_l b_{kr}.$$

Здесь  $\hat{\sigma}_s^2 = \mu + \alpha_s \sigma$ ,  $\hat{\sigma}_p^2 = \lambda + 2\mu + \alpha_p \sigma$  — собственные значения;  $b_1$ ,  $b_2$ ,  $b_3$  — собственные векторы пьезоакустического тензора  $L_u^0$  (фазовые скорости и векторы поляризации  $SV$ - $, SH$ - $, P$ -волн в изотропной среде):

$$(2.5) \quad \begin{aligned} b_{i1} &= (\cos \varphi \cos \theta, \sin \varphi \cos \theta, -\sin \theta), \\ b_{i2} &= (-\sin \varphi, \cos \varphi, 0), \\ b_{i3} &= n_i = (\cos \varphi \sin \theta, \sin \varphi \sin \theta, \cos \theta). \end{aligned}$$

Для получения приближенных аналитических выражений времен про- бега  $qP$ - и  $qS$ -волн в однородной среде также можно использовать метод возмущений [18, 19]:

$$(2.6) \quad t_r(\mathbf{l}) = \sqrt{l_x^2 + l_y^2 + l_z^2} / v_r(\varphi, \theta), \quad \operatorname{tg} \varphi = l_y / l_x, \quad \operatorname{tg} \theta = \sqrt{l_x^2 + l_y^2} / l_z$$

( $\mathbf{l} = (l_x, l_y, l_z)$  — вектор, соединяющий источник и приемник). Подставляя (2.5) в (2.4), для элементов матрицы  $D_{nr}$  получим

$$(2.7) \quad \begin{aligned} D_{11} &= \hat{\sigma}_s^2 + 2\beta_s T_{11} + (1 + 2\beta_s) T_{33}, \quad D_{12} = 2\beta_s T_{12}, \\ D_{22} &= \hat{\sigma}_s^2 + 2\beta_s T_{22} + (1 + 2\beta_s) T_{33}, \quad D_{23} = ((\beta_p - 1)/2) T_{23}, \\ D_{33} &= \hat{\sigma}_p^2 + \beta_p T_{33}, \quad D_{13} = ((\beta_p - 1)/2) T_{13}, \quad T_{nr} = \sum_{i,k=1}^3 b_{in} \tau_{ik} b_{kr}. \end{aligned}$$

Таким образом, на основе (2.1)–(2.3), (2.7) приближенные выражения для фазовых скоростей и векторов поляризации можно выписать в виде

$$(2.8) \quad \begin{aligned} \sigma_3(n|\tau_k) &= \hat{\sigma}_p^2 + \beta_p \sigma_{nn}, \quad \sigma_{nn} = T_{33}, \quad \sigma_{12}(n|\tau_i) = \\ &= \hat{\sigma}_s^2 + \sigma_{nn} - \beta_s \sigma_{n_k n_k}, \quad \sigma_{n_k n_k} = (T_{11} + T_{22} \pm \sqrt{(T_{11} - T_{22})^2 + 4T_{12}^2}), \\ \operatorname{tg} \Gamma &= T_{23}/T_{13}, \quad \operatorname{tg} 2\gamma = 2T_{12}/(T_{11} - T_{22}), \\ \Delta &= [(\beta_p - 1)/(\hat{\sigma}_p^2 - \hat{\sigma}_s^2)] \eta / 2, \quad \eta = \sqrt{T_{13}^2 + T_{23}^2}, \\ \operatorname{tg} \hat{\Gamma} &= -\Delta^2 \sin 2(\gamma - \Gamma)/(2\Omega), \\ \Omega &= [2\beta_s/(\hat{\sigma}_s^2 - \hat{\sigma}_p^2)] \rho, \quad \rho = \sqrt{(T_{11} - T_{22})^2 + 4T_{12}^2}, \end{aligned}$$

где  $\sigma_3(n)$  и  $\sigma_{12}(n)$  — индикаторы скоростей  $qP$ - и  $qS$ -волн в нагруженной среде;  $\hat{\sigma}_p$  и  $\hat{\sigma}_s$  — скорости  $P$ - и  $S$ -волн, зависящие от величины гидростатического давления;  $\sigma_{nn}$  — нормальное девиаторное напряжение, действующее на площадку, перпендикулярную направлению распространения  $n$ ;  $\sigma_{n_1 n_1}$  и  $\sigma_{n_2 n_2}$  — максимальное и минимальное нормальные девиаторные напряжения, действующие на площадках с нормалями, перпендикулярными к направлению распространения  $n$ ;  $\eta$  — касательное девиаторное напряжение, действующее на площадку, перпендикулярную направлению распространения  $n$ ;  $\Gamma$  — азимут касательного напряжения;  $\rho$  — максимальное касательное девиаторное напряжение, действующее на площадках с нормалями, перпендикулярными к направлению распространения  $n$ ;  $\gamma$  — азимут этого касательного напряжения. Заметим, что если  $\Omega = 0$ , то  $\gamma = \Gamma$  и  $\hat{\Gamma} = 0$ . При известных  $\lambda$ ,  $\mu$  по скорости продольных волн возможно определение только двух упругих модулей третьего порядка:  $l$  и  $m$ , по данным поперечных волн — тоже двух:  $m$  и  $n$ .

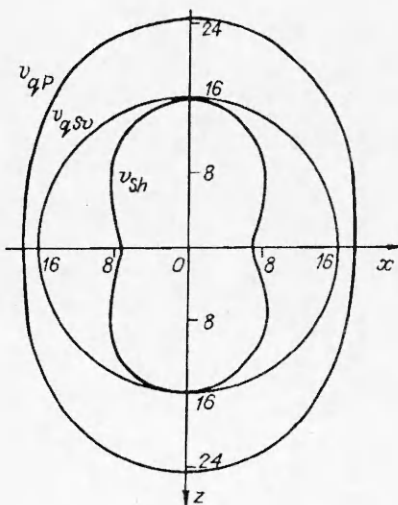


Рис. 1

На основе полученного выражения для пьезоакустического тензора (1.10) рассчитаны величины фазовых скоростей квазипротодольных и квазипоперечных волн (рис. 1) в образце гранита с параметрами  $v_p = 5,5$  км/с,  $v_s = 3,1$  км/с,  $\rho_0 = 2,66$  г/см<sup>3</sup>,  $\alpha_p = -1330$ ,  $\alpha_s = -268$ ,  $\beta_p = -657$ ,  $\beta_s = -123$  при двухосной нагрузке (осевое давление  $\sigma_0 = 40$  МПа, боковое  $\sigma_1 = 20$  МПа), а на рис. 2 представлены погрешности расчета скоростей по приближенным формулам (2.8) и отклонения вектора поляризации  $qP$ -волны от направления распространения. Отсюда можно заключить, что при двухосной нагрузке приближенное выражение (2.8) для  $qSh$ -волны совпадает с точным ( $qSh$ -волна является чисто поперечной  $Sh$ -вольной), для  $qP$ - и  $qSv$ -волн приближенные выражения совпадают с точными в направлениях главных осей нагружения, так как в этих направлениях распространяются чисто продольные и чисто поперечные волны; максимальные погрешности при вычислениях по приближенным формулам возникают на направлениях, составляющих  $45^\circ$  с направлением главных осей нагружения. Однако абсолютные значения таких погрешностей (рис. 2) даже при достаточно сильном отклонении напряженного состояния от всестороннего сжатия ( $\sigma_0 = 40$  МПа,  $\sigma_1 = 20$  МПа) не превосходят 4 м/с для  $qP$ - и 7 м/с для  $qSv$ -волн. Отсюда можно сделать вывод о достаточно высокой точности полученного приближения.

Для оценки интенсивности девиаторных напряжений  $\tau_{ij}$  относительно нормального напряжения  $\tau_{33}$ , действующего на горизонтальную площадку, по данным изучения скоростей (2.8) можно использовать формулу

$$\tau_{ij} = \tau_{33} \frac{3W_{ij} - \delta_{ij}(W_{11} + W_{22} + W_{33})}{2W_{33} - W_{11} - W_{22}},$$

где  $W_{ij}$  — параметры эллиптической аппроксимации, индикаторы скоростей  $qP$ -волн  $v_3$  или средних скоростей  $qS$ -волн  $(v_1 + v_2)/2$ . Оценку абсолютных значений напряжений можно найти путем дополнительных измерений нормального напряжения  $\tau_{33}$  или пьезоакустической константы  $\beta$ .

Таким образом, полученные в данной работе соотношения могут служить теоретической основой для развития сейсмоакустических методов исследования сложнопроявленного состояния упругих материалов.

#### ЛИТЕРАТУРА

1. Biot M.A. The influence of initial stress on elastic waves // J.Appl.Phys. — 1940. — V. 11. — P. 522—530.
2. Birch F. Finite elastic strain of cubic crystals // Phys. Rev. — 1947. — V. 71. — P. 809—824.
3. Hughes D.S., Kelly J.L. Second-order elastic deformation of solids // Phys. Rev. — 1953. — V. 92, N 5. — P. 1145—1149.
4. Murnaghan F.D. Finite deformation of an elastic solids. — N.Y.: J.Wiley, 1951.
5. Seeger A., Mann E. Anwendung der nichtlinearen Elastizitätstheorie auf Fehlstellen in Kristallen // Z.Naturforschg. — 1959. — Bd 14a. — S. 154—164.
6. Seeger A., Buck O. Die Ermittlung der elastischen Konstanten hoher Ordnung // Z. Naturforschg. — 1960. — Bd 15a. — S. 1056—1067.
7. Truesdel C., Noll W. Non-linear field theories of mechanics // Encyclopedia of Physics-Handbuch der Physik // Ed. by S. Flugge. — Berlin: Springer, 1965. — V. 11/3.
8. Tokuoka T., Iwashimizu Yn. Acoustical birefringence of ultrasonic waves in deformed isotropic elastic materials // Int. J. Solids Structures. — 1968. — V. 4. — P. 383—389.
9. Костров Б.В., Никитин Л.В. Влияние предварительно напряженного состояния на распространение плоских сейсмических волн // Изв. АН СССР. Физика Земли. — 1968. — Т. 9. — С. 30—38.
10. Nicitin L.V., Chesnecov E.M. Wave propagation in elastic media with stress-induced anisotropy // Geophys. J. Astron. Soc. — 1984. — V. 76, N 1. — P. 129—133.

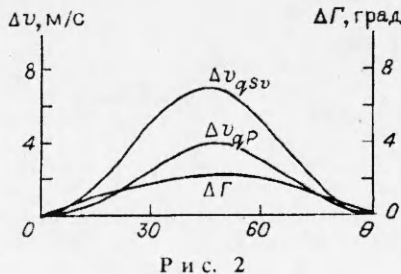


Рис. 2

11. Петрашень Г.И. Распространение волн в анизотропных упругих средах. — Л.: Наука, 1980.
12. Tolstoy I. On elastic waves in prestressed solids // J. Geophys. Res. — 1982. — V. 87, N 88. — P. 6823—6827.
13. Engelhard L. Stress-induced anisotropy in elastic media // Geophys. Trans. — 1988. — N 1. — P. 59—81.
14. Norris A.N. Propagation of plane waves in pre-stressed medium // J. Acoust. Soc. Amer. — 1983. — V. 74, N 5. — P. 1642—1643.
15. Aggson J.R. The potential application of ultrasonic spectroscopy to underground site characterization. — San Francisco, 1978. — (Prepr. 48th Annual meeting of the SEG, 1978).
16. Egle D.M., Bray D.E. Measurement of acoustoelastic and third order elastic constants for rail steel // J. Acoust. Soc. Amer. — 1976. — V. 60, N 3. — P. 741—744.
17. Nur A., Simmons G. Stress-induced velocity anisotropy in rock: an experimental study // J. Geophys. Res. — 1969. — V. 74, N 27. — P. 6667—6674.
18. Backus G.E. Possible forms seismic anisotropy of the uppermost mantle under oceans // J. Geophys. Res. — 1965. — V. 70. — P. 3429—3439.
19. Глебов А.Ф. Поляризация квазипродольных и квазипоперечных волн в анизотропных средах // Геология и геофизика. — 1994. — № 2.
20. Беляков В.Л. Автоматический контроль параметров нефтяных эмульсий: Справочное пособие. — М.: Недра, 1992.

г. Новосибирск

Поступила 12/V 1993 г.

УДК 621.762

А.Л. Максименко, Е.А. Олевский

## НЕСТАЦИОНАРНЫЕ ЗАДАЧИ КВАЗИСТАТИЧЕСКОЙ ТЕОРИИ УПРОЧНЯЮЩЕГОСЯ ПЛАСТИЧЕСКОГО ТЕЛА

Термин нестационарные задачи в работе используется в смысле, предложенном в [1]. Речь идет об исследовании медленных эволюционных процессов деформирования жесткопластической среды. Определенный опыт решения таких задач накоплен в теории обработки давлением пористых и порошковых материалов. Подходы, развиваемые в теории сжимаемых пластических сред, позволяют по-новому взглянуть и на решение классических задач теории пластичности, рассматривая несжимаемый материал как материал предельно малой сжимаемости. Для нахождения полей скоростей в данной работе используются вариационные принципы теории пластического течения.

**1. Особенности эволюционных задач теории пластичности.** Наиболее простая схема решения задач, в которых необходимо проследить эволюцию пластического деформирования материала в процессе его нагружения, предложена, например, в [1]. Для выяснения картины течения необходимо задаться некоторым шагом изменения параметра нагрузки  $\Delta t$ , найти мгновенные скорости в объеме материала, проследить изменение геометрии течения и параметров упрочнения, снова найти скорости и т.д. Главные препятствия, возникающие на пути реализации такого подхода, связаны с тем, что поле скоростей в жесткопластическом материале определяется, вообще говоря, неединственным образом. При численном моделировании эта неединственность проявляется как некорректность, т.е. малые изменения параметров задачи приводят к большим изменениям поля скоростей. Например, в задаче о внедрении штампа в жесткопластическое однородное несжимаемое полупространство как угодно малая вариация предела текучести в области, прилегающей к штампу, резко меняет скорости материала. При этом симметричное относительно штампа поле скоростей может, например, переходить в несимметричное. Достаточное число примеров такого рода приведено в [2]. Некорректность, в свою очередь, влечет неопределенность в выборе шага  $\Delta t$ . Понятно, что чем с большей скоростью происходит процесс,

© А.Л. Максименко, Е.А. Олевский, 1994